

ORIGINAL ARTICLE

Design, synthesis, and antiproliferative activity of novel 4-anilinoquinazoline derivatives

Abdolrahim Makhtoumi¹,

Ramin Babaei²,

Sara Dabirian³,

Saeed Ghasemi¹

¹Pharm D, Department of Medicinal Chemistry, School of Pharmacy, Guilan University of Medical Sciences, Rasht, Iran

² Assistant Professor, Department of Pharmaceutical Biotechnology, School of Pharmacy, Guilan University of Medical Sciences, Rasht, Iran

³Associate Professor, Department of Medicinal Chemistry, School of Pharmacy, Guilan University of Medical Sciences, Rasht, Iran

(Received January 7, 2025; Accepted August 30, 2025)

Abstract

Background and purpose: Inhibition of tyrosine kinases plays a crucial role in cancer treatment. Several drugs bearing an anilinoquinazoline core and acting through this mechanism have been approved by the FDA for cancer therapy. In this study, a series of new 4-anilinoquinazoline derivatives were designed, synthesized, and evaluated for their anticancer activity.

Materials and methods: Novel 4-anilinoquinazoline derivatives featuring piperidine and N, N-dimethylamine groups at the 7-position of the quinazoline core were designed, synthesized, and evaluated for their cytotoxic activity against A431, HUVEC, and HU02 cell lines. Molecular docking studies were performed to evaluate the binding interactions of the compounds with EGFR and VEGFR-2. Finally, a wound healing assay was conducted to assess the ability of the compounds to inhibit cell migration.

Results: Compounds 8d and 8f exhibited greater cytotoxicity against both cell lines compared to vandetanib ($IC_{50} = 10.62 \mu M$ for A431 and $5.75 \mu M$ for HUVEC), with IC_{50} values of 1.99 and 2.57 μM for A431, and 3.83 and 5.64 μM for HUVEC, respectively. Compound 8d demonstrated the highest selectivity index on both cell lines (18.55 for A431 and 9.64 for HUVEC). Molecular docking studies revealed that compound 8d, bearing a 4-bromo-2-fluoro substituent at the 4-position of the quinazoline nucleus and a piperidine group at the 7-position of the quinazoline ring, exhibited stronger binding affinity to EGFR (binding energy: -8.6 kcal/mol) and VEGFR-2 (binding energy: -8.8 kcal/mol) than vandetanib. In addition, compound 8d inhibited cell migration by approximately 90%.

Conclusion: Compound 8d, which exhibited the most potent cytotoxic and anti-migratory activities, appears to be a promising lead compound for further structural optimization and biological investigation.

Keywords: synthesis, cytotoxicity, 4-anilinoquinazoline, molecular docking, wound healing assay

J Mazandaran Univ Med Sci 2025; 35 (249): 3-19 (Persian).

Corresponding Author: Saeed Ghasemi - School of Pharmacy, Guilan University of Medical Sciences, Rasht, Iran
(E-mail: ghasemi_saeed@yahoo.com)

طراحی، سنتز و بررسی اثرات سمیت سلولی مشتقات جدید ۴- آنیلینوکینازولین

عبدالرحیم مختومی^۱

رامین بابایی^۲

سارا دبیریان^۳

سعید قاسمی^۱

چکیده

سابقه و هدف: مهار تیروزین کینازها، نقش مهمی در درمان سرطان دارند و داروهای مختلفی حاوی هسته آنیلینوکینازولین با این مکانیسم اثر جهت درمان سرطان مورد تایید FDA قرار گرفته‌اند. این مطالعه با هدف بررسی تعدادی مشتق جدید ۴-آنیلینوکینازولین سنتز و اثرات سمیت سلولی و پتانسیل ترمیم زخم به روش درون تن، انجام پذیرفت.

مواد و روش ها: در این مطالعه تجربی - آزمایشگاهی، مشتقات جدید ۴-آنیلینوکینازولین حاوی گروه‌های پیپریدین و N-O-دی متیل آمین در موقعیت ۷ حلقه کینازولین طراحی و سنتز شدند و فعالیت سیتوکسیک بر روی رده‌های سلولی و HUVEC و A431 و HU02 مورد ارزیابی قرار گرفت. به منظور بررسی الگوی اتصال ترکیبات با بخش تیروزین کیناز VEGFR-2 و EGFR، مطالعات داکینگ مولکولی انجام شد. در نهایت، سنجش ترمیم زخم به روش بروون تن برای ارزیابی قدرت ترکیبات در مهار مهاجرت سلولی صورت پذیرفت.

یافته‌ها: ترکیبات 8d و 8f سمیت سلولی بهتری را در برابر هر دو رده سلولی به ترتیب با IC₅₀ معادل ۱/۹۹ و ۲/۵۷ میکرومولار بر روی A431 و IC₅₀ معادل ۳/۸۳ و ۵/۶۴ میکرومولار بر روی HUVEC در مقایسه با واندتاپ به عنوان داروی استاندارد IC₅₀ معادل ۱۰/۶۲ میکرومولار بر روی A431 و ۵/۷۵ میکرومولار بر روی (HUVEC) از خود نشان دادند. ترکیب 8d بیشترین شاخص انتخابی را بر روی هر دو رده سلولی (۱۸/۵۵ بر روی A431 و ۹/۶۴ بر روی HUVEC) نشان داد. مطالعات داکینگ مولکولی نشان داد که ترکیب 8d که دارای گروه ۴-برومو-۲-فلوئوروآنیلین در موقعیت ۴ هسته کینازولین و پیپریدن در موقعیت ۷ حلقه کینازولین است، انرژی اتصال بالاتری به EGFR (انرژی اتصال ۸/۶ کیلوکالری بر مول) و VEGFR-2 (انرژی اتصال ۸/۸ کیلوکالری بر مول) نسبت به واندتاپ نشان داد. علاوه بر این، ترکیب 8d تا ۹۰ درصد باعث کاهش مهاجرت سلولی شد.

استنتاج: ترکیب 8d که بهترین سمیت سلولی و فعالیت بازدارندگی را در مهاجرت سلولی نشان داد، می‌تواند کاندیدای مناسبی برای مطالعات درون تن و بهینه‌سازی ساختاری باشد.

واژه‌های کلیدی: سنتز، سمیت سلولی، ۴-آنیلینوکینازولین، داکینگ مولکولی، التیام زخم

E-mail: ghasemi_saeed@yahoo.com

مولف مسئول: سعید قاسمی-رشت: دانشکده داروسازی، دانشگاه علوم پزشکی گیلان، رشت، ایران

۱. داروساز، گروه شیمی دارویی، دانشکده داروسازی، دانشگاه علوم پزشکی گیلان، رشت، ایران

۲. استادیار، گروه بیوتکنولوژی دارویی، دانشکده داروسازی، دانشگاه علوم پزشکی گیلان، رشت، ایران

۳. دانشیار، گروه شیمی دارویی، دانشکده داروسازی، دانشگاه علوم پزشکی گیلان، رشت، ایران

تاریخ دریافت: ۱۴۰۳/۱۰/۱۸ تاریخ ارجاع چهت اصلاحات: ۱۴۰۳/۱۱/۱۸ تاریخ تصویب: ۱۴۰۴/۶/۸

مقدمه

هستند، می‌توانند در ایجاد انواع بدخیمی‌ها نقش داشته باشند. علاوه بر این، مهار EGFR منجر به کاهش بیان VEGF می‌شود که نقش اصلی را به عنوان القاگر کننده آنزیوژن تومور ایفا می‌کند. هم‌چنین، مهار VEGFR-2 باعث افزایش فعالیت ضد سرطانی مهار کننده‌های EGFR می‌شود^(۷). بنابراین، به دلیل اثر همازی، به نظر می‌رسد مهار هم‌مان مسیرهای سیگنالینگ و VEGFR-2 یک روش موثر برای درمان سرطان باشد^(۱۸). هسته کینازولین، به ویژه ۴-آنیلینوکینازولین، به دلیل فعالیت‌های بیولوژیکی متعدد، به ویژه مهار کننده‌گی EGFR و VEGFR-2، در سال‌های اخیر بسیار مورد توجه قرار گرفته است^(۱۹). چندین دارو شامل ارلوتینیب، آفاتینیب، و اوسمیرتینیب به عنوان مهار کننده‌های تیروزین کیناز EGFR و وانداتینیب به عنوان مهار کننده‌ی دوگانه EGFR/VEGFR-2 دارای ساختار ۴-آنیلینوکینازولینی هستند که برای درمان‌های انواع مختلف سرطان‌ها مورد تأیید FDA قرار گرفته‌اند^{(۹)، (۲۰)، (۲۱)}.

مهار فعالیت تیروزین کیناز، توسط مشتقات ۴-آنیلینوکینازولین از طریق برهمکنش با محل اتصال آدنوزین تری فسفات (ATP) بخش تیروزین کینازی داخل سلولی EGFR و VEGFR-2 انجام می‌شود^(۲۵). مطالعه رابطه ساختمان-فعالیت (SAR) هسته ۴-آنیلینوکینازولین نشان داد که قرار دادن گروه‌های بزرگ لیپوفیل و الکترون کشند کلر یا برم در موقعیت‌های ۳ و ۴ حلقه آنیلین باعث افزایش اثر بخشی این دسته از ترکیبات می‌شود. در حالی که گروه‌های کوچک مانند فلورور و هیدروژن در موقعیت ارتوا این حلقه ترجیح داده می‌شوند. بررسی هسته کینازولین نشان داد که محدودیت تغییر در موقعیت ۶ حلقه کینازولین وجود دارد و متوكسی در این موقعیت ارجح ترین گروه است، درحالی که انواع مختلف گروه‌ها، از جمله زنجیره‌های جانبی خشی، بازی و هتروسیکل در موقعیت ۷ هسته کینازولین، منجر به ایجاد مشتقات با اثرات ضد سرطانی قوی و مهار کننده‌گی چشمگیری بر روی تیروزین کینازهای EGFR و VEGFR-2 می‌شوند^(۲۶).

پروتئین کینازها نقش مهمی در مسیرهای سیگنالینگ سلولی ایفا می‌کنند، که می‌توانند عملکردهای سلولی مختلف مانند تکثیر سلولی، رگزایی، تمایز و مهاجرت سلولی را تنظیم کند^{(۱)- (۳)}. گیرنده فاکتور رشد اپیدرمی (EGFR) به عنوان یک گیرنده تیروزین کیناز (RTK)، عضوی از خانواده ErbB است که از چهار عضو مرتبه، شامل ErbB2 (HER-2/neu)، ErbB1 (EGFR)، ErbB3 (HER-3) و ErbB4 (HER-4) تشکیل شده است^{(۶)- (۴)}. برای فعال سازی بخش تیروزین کیناز داخل سلولی و مسیرهای سیگنال دهی پایین دست، لیگاندهایی مانند فاکتورهای رشد اپیدرمی (EGF) باید به بخش خارج سلولی EGFR متصل شوند تا دیمر شدن و اتوفسفوریلاسیون اتفاق بیفتد^(۷). اختلال در عملکرد EGFR، که به دلیل فعالیت بیش از حد، بیان بیش از حد، یا جهش اتفاق می‌افتد، می‌تواند باعث ایجاد تومور و متاستاز، از طریق شروع مسیرهای مختلف انتقال سیگنال (Jak/STAT، PI3K/Akt، Ras/MAPK) و فرآیندهای سلولی شود^{(۱۰)- (۸)}. بنابراین، EGFR را می‌توان به عنوان یک هدف مناسب جهت طراحی و توسعه داروهای ضد سرطان در نظر گرفت^{(۱۳)- (۱۱)}. آنزیوژن، تولید شبکه‌های عروق خونی جدید از عروق موجود، فرآیند اساسی برای رشد فیزیولوژیکی و هم‌چنین رشد و متاستاز تومور است^(۱۴). گیرنده فاکتور رشد اندوتیال عروقی نوع ۲ (VEGFR-2/KDR)، به عنوان عضوی از خانواده VEGFRs، گیرنده‌های فاکتور رشد اندوتیال عروقی (VEGF)، می‌تواند با استفاده از اتصال به فاکتور رشد اندوتیال عروقی (VEGF) فعال شود. این اتصال به بخش خارج سلولی VEGFR-2 می‌تواند شروع انتقال سیگنال پایین دست را فعال کند، که در نتیجه می‌تواند باعث رگزایی، افزایش نفوذپذیری عروق، تکثیر و مهاجرت سلول‌های تومور شود^{(۱۵)، (۱۶)}. مهار VEGFR-2 برای مهار آنزیوژن و درمان سرطان بسیار مورد توجه قرار گرفته است^(۱۷). VEGFR-2 و EGFR که دارای مسیرهای سیگنالینگ پایین دست و روابط عملکردی مشترک

DMSO-*d*₆ ثبت شد و تغیرات شیمیایی (8) بر حسب ppm گزارش شد (ترامتیل سیلان (TMS) به عنوان استاندارد داخلی استفاده شد). طیف جرمی توسط طیف سنج جرمی (70 eV) 5973 Agilent ثبت شد. کترول پیشرفت واکنش‌ها توسط کروماتوگرافی لایه نازک 60F254 (TLC) با استفاده از پلیت‌های سیلیکاژل مرک 60 با انجماد شد. کروماتوگرافی ستونی بر روی سیلیکاژل مرک ۶۰ با اندازه ذرات ۰/۰۶-۰/۰۲ میلی متر انجماد شد.

ستز مشتقات

مشتقات ۷-۱ طبق روش مندرج در مقالات ستز گردید و با روش‌های FT-IR, ¹HNMR, ¹³CNMR و طیف سنجی جرمی مورد تایید قرار گرفت (۱۹-۳۱).

روش عمومی ستز مشتقات ۷-۲-(R')-اتوکسی)-۶-متوكسی-N-(فنیل)کینازولین-۴-آمین (8a-f) ابتداء ۰/۱۴ میلی مول از مشتقات ۷-۲-کلورو اتوکسی)-۶-متوكسی-N-(R فنیل)کینازولین-۴-آمین (7a-c) در ۲ میلی لیتر DMF حل شد و مقادیر کاتالیزوری پتانسیم یدید و ۰/۱۴ میلی مول پتانسیم کربنات اضافه شد. سپس ۰/۱۶ میلی مول آمین مورد نظر (پیریدین و N-دی متیل آمین) به مخلوط فوق اضافه شد و مخلوط واکنش به مدت ۲ ساعت رفلکس شد. پس از اتمام واکنش، مخلوط واکنش جهت جداسازی نمک‌های نامحلول صاف شد. به محلول واکنش، ۲ گرم بخ اضافه شد، رسوبات حاصل صاف و خشک شد. جهت خالص سازی محصولات نهایی، از کروماتوگرافی ستونی با فاز ساکن سیلیکاژل و فاز متحرک ان-هگزان:اتیل استات (۴:۶ حجمی:حجمی) استفاده شد.

بررسی سمیت سلولی

سمیت سلولی بر روی سه رده سلولی، شامل HUVECs, A431 و HU02 با روش MTT مورد بررسی قرار گرفت (۳۱, ۳۲, ۳۹, ۴۰). سلول‌ها در پلیت

۲۷). هسته کینازولین با زنجیره‌های جانبی بازی در موقعیت ۷ این هسته، فعالیت مهاری قوی بر روی تیروزین کینازهای EGFR و VEGFR-2 در تحقیقات برون تن و درون تنی نشان داده است (۲۴, ۳۰-۲۸). در این تحقیق، تعدادی از مشتقات جدید ۴-آنیلینوکینازولین بر اساس ساختار و اندتایب طراحی و سنتز شدند. ترکیبات سنتز شده از نظر سمیت سلولی بر روی رده سلولی A431 (سلول کارسینوم اپیدرمومیت انسانی) به عنوان یک رده سلولی سرطانی با بیان بیش از حد EGFR (سلول اندوتیال و ریید ناف انسانی) و HUVEC (سلول فیروبلاست انسانی) به عنوان یک رده سلولی طبیعی با استفاده از روش MTT مورد ارزیابی قرار گرفتند. هم‌چنین مطالعات داکینگ مولکولی توسط نرم افزار AutoDock بر روی ساختارهای کریستالی بخش تیروزین کیناز EGFR و VEGFR-2 جهت بررسی نحوه اتصال و اثری اتصال ترکیبات سنتز شده انجام شد. علاوه بر این، سنجش مهاجرت سلولی برای بررسی اثرات ترکیبات سنتز شده بر مهاجرت سلولی سلول‌های HUVEC انجام شد.

مواد و روش‌ها

در این مطالعه تجربی - آزمایشگاهی با کد اخلاق IR.GUMS.REC.1398.417 مورد استفاده از شرکت‌های مرک و سیگما آلدیریچ خریداری شدند و بدون خالص‌سازی در واکنش‌ها استفاده شدند. رده‌های سلولی A431 و HU02 از مرکز ملی ذخایر ژنتیکی و زیستی ایران تهیه شدند. رده سلولی HUVEC از انتستیتو پاستور ایران خریداری شد. نقاط ذوب (تصحیح نشده) با استفاده از دستگاه نقطه ذوب الکتروترمال ۹۱۰۰ اندازه گیری شدند. طیف مادون قرمز Perkin-Elmer Spectrum (IR) توسط اسپکتروفوتومتر (ATR) که به بازتابش کلی کاهش یافته (Two FT-IR مجهر شده بود در محدوده ۴۰۰-۴۰۰۰ cm⁻¹، به دست آمد. تمام طیف‌های ¹HNMR و ¹³CNMR با استفاده از طیف‌سنج Bruker FT-500 MHz با استفاده از حلال

مطالعات توسط Docking 4.2 AutoDock و (ADT) انجام شد. ساختار کریستالی AutoDock Tools 1.5.4 بخش تیروزین کینازی EGFR کمپلکس شده با PDB ID: ۱M17 مهار کننده ۴-آلیلینوکینازولینی ارلوتینیب (ID: ۲RL5) با رزولوشن ۲/۶ آنگستروم و ساختار کریستالی VEGFR-2 بخش تیروزین کینازی ۲/۶۵ آنگستروم از باشكه مهار کننده ۳-دی هیدرو-۱-بنزو-کسازین (ID: 2RL5) با رزولوشن ۲/۶۵ آنگستروم از باشكه اطلاعات پروتئین (<http://www.rcsb.org>) دانلود شد. پس از حذف لیگاندها و مولکولهای آب از ساختارهای کریستالی گیرنده‌ها، هیدروژن‌ها و بارهای کولمن اضافه شدن و هیدروژن‌های غیر قطبی ادغام شدن. ساختار ترکیبات در نرم افزار Hyperchem ترسیم شد و بهینه‌سازی هندسه‌ی مولکولی با روش مکانیکی مولکولی MM+ و روش نیمه تجربی AM1 انجام شد. اندازه گرید باکس $x = ۹۰$, $y = ۹۰$, $z = ۹۰$ در نظر گرفته شد و فاصله نقاط شبکه بر روی ۳/۷۵ آنگستروم تنظیم شد. الگوریتم جستجوی ژنتیک لامارکی (LGA) با ۱۰۰ مرتبه اجرای GA برای جستجوی ساختاری مورد استفاده قرار گرفت. از ارلوتینیب و ۳-دی هیدرو-۱-بنزو-کسازین به عنوان لیگاندهای کریستالی جهت معتبر سازی روش داکینگ استفاده شد. نحوه اتصال دو بعدی لیگاندها و رسپتورها توسط BIOVIA Discovery Studio Visualizer مورد بررسی قرار گرفت.^(۳۹).

سنجهش ترمیم زخم به روش برون تن سلول‌های HUVEC در محیط کشت DMEM با گلوکز بالا در یک پلیت ۲۴ خانه کشت داده شدند. برای ایجاد یک لایه سلولی، سلول‌ها به مدت ۲۴ ساعت انکوبه شدند. وسط هر چاهک با استفاده از نوک پیپت P200 خراشیده شد. چاهک‌ها شسته شدند و به هر چاهک محیط کشت جدید اضافه شد. ترکیب ۸d (۵ میکرومولاو) به هر چاهک اضافه شد و سپس با استفاده از میکروسکوپ فلورسانس عکس گرفته شد.

های ۹۶ خانه با غلظت ۵×۱۰^{-۳} در هر چاهک کشت داده شدند و در دمای ۳۷ درجه سانتی گراد در اتمسفر مرتبط با ۵ درصد CO₂ به مدت ۲۴ ساعت انکوبه شدند. سلول‌ها در معرض غلظت‌های مختلف (۰/۷۸, ۰/۵۶۲, ۰/۱۲۵, ۰/۲۵, ۰/۲۵, ۰/۲۵, ۰/۲۵, ۰/۱۵۶) واند تانیب و ترکیبات سنتر شده (8a-f) در محیطی با ۰/۱ درصد DMSO قرار گرفتند. سلول‌های تیمار شده با حلال به عنوان کنترل منفی مورد استفاده قرار گرفتند. محلول MTT با غلظت ۵mg/mL در ۷۲ PBS ساعت پس از تیمار به هر چاهک اضافه شد و سلول‌ها به مدت ۳ ساعت دیگر در دمای ۳۷ درجه سانتی گراد انکوبه شدند. در نهایت، مایع رویی خارج شد. DMSO (۱۵۰ میکرولیتر در هر چاهک) برای حل کردن بلورهای فورمازان اضافه شد و جذب در طول موج ۵۷۰ نانومتر توسط دستگاه میکروپلیت خوان Biotek Epoch™ خوانده شد.

شاخص انتخابی (SI) (Selectivity Index)

شاخص انتخابی میزان اختصاصی اثربخشی یک ترکیب را بر روی سلول‌های سرطانی مشخص می‌کند. شاخص انتخابی، نسبت مقدار IC₅₀ یک ترکیب بر روی سلول‌های سالم به مقدار IC₅₀ سلول‌های سرطانی می‌باشد.

تجزیه و تحلیل آماری

همه آزمایش‌ها سه بار انجام شد و مقادیر IC₅₀ (غلظت مورد نیاز برای ۵۰٪ فعالیت مهاری) با استفاده از رگرسیون غیر خطی توسط منحنی دوز-پاسخ برآرش نرمال شده توسط GraphPad Prism® نسخه ۵ به دست آمد و به صورت میانگین ± انحراف استاندارد GraphPad (S.D.) بر حسب میکرومولاو گزارش شد (Diego, CA Software., Inc. San

داکینگ مولکولی

ترکیبات ۸d و واند تانیب برای مطالعات داکینگ مولکولی با EGFR-2 و VEGFR-2 استفاده شدند.

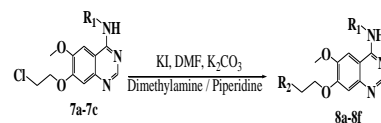
N-برومو-2-متیل فنیل)-7-(دی متیل آمینو)اتوكسی)-6-متوكسی کینازولین-4-آمین (8b) $^{\circ}\text{C}$; IR (KBr, ۲۰۹-۲۰۸; %نقطه ذوب= بازده ۴۶; (CH₂O), ۱۴۱۶(NH-aniline), ۳۳۱۴cm^{-۱}) vmax: MHz): ۵۰.O). ¹HNMR (DMSO-*d*₆, τ (CH)۱۲۶ H, H-C₂ ۱(s, Δ /۲۶H, H-N aniline), ۱(s, ۹/۴۷δppm ۷/۵۳H, H-C₅ quinazoline), ۱(s, ۷/۸۸quinazoline), H, H-C₆ ۱Hz, ۷/۵(d, J =۷/۴۲H, H-C₃ aniline), ۱(s, (s, ۷/۱۷H, H-C₅ aniline), ۱Hz, ۸(d, J =۷/۲۷aniline), ۳/۹۳,)H, OCH₂(brs, ۴/۲۰H, H-C₈ quinazoline), ۱H, ۶(s, ۲/۶۲H, NCH₂), ۲(brs, ۲/۹۰,)H, OCH₃۳(s, H, H-CH₃ C₂ aniline). ۳(s, ۲/۱۷N(CH₃)₂), , ۱۵۸/۰.۴ MHz) δppm ۱۲۵¹³CNMR (DMSO-*d*₆, , ۱۳۳/۴۳, ۱۳۷/۷۸, ۱۳۸/۳۹, ۱۴۷/۳۴, ۱۴۸/۱۷, ۱۵۳/۷۴ , ۱۰۴/۶۱, ۱۰۸/۴۵, ۱۱۸/۹۱, ۱۲۹/۵۶, ۱۳۰/۲۵, ۱۳۳/۳۸ . MS ۲۰/۳۶, ۵۱/۴۸, ۵۱/۵, ۵۶/۸۸, ۶۷/۶۲, ۱۰۳/۰.۷ [M]⁺.۴۳۱(ESI): m/z

-۳-(دی متیل آمینو)اتوكسی)-N-(۳-فلوروفنیل)-6-متوكسی کینازولین-4-آمین (8c) $^{\circ}\text{C}$; IR (KBr, ۲۰۹-۲۰۸; %نقطه ذوب= بازده ۴۶; (CH₂O), ۱۴۵۹(NH-aniline), ۳۳۴۴cm^{-۱}) vmax: MHz): ۵۰.O). ¹HNMR (DMSO-*d*₆, τ (CH)۱۲۵ H, H-C₂ ۱(s, Δ /۵۲H, H-N aniline), ۱(s, ۹/۵۹δppm H, H-C₂ ۱Hz, ۱۲(d, J =۷/۸۹quinazoline), (d, ۷/۶۲H, H-C₅ quinazoline), ۱(s, ۷/۸۶aniline), H, ۱Hz, ۷/۵(d, J =۷/۴۱H, H-C₆ aniline), ۱Hz, ۸J= ۶/۹۱(H, H-C₈ quinazoline), ۱(s, ۷/۲۳H-C₄ aniline), H, ۲(brs, ۴/۲۴,)Hz ۱H, H-C₅ aniline ۷/۵t, J= H, NCH₂), ۲(brs, ۲/۹۷,)H, OCH₃۳(s, ۳/۹۷,)OCH₂ H, N(CH₃)₂). ¹³CNMR (DMSO-*d*₆, ۶(s, ۲/۶۸ , ۱۴۹/۷۶, ۱۵۳/۲۵, ۱۵۴/۱۷, ۱۵۶/۶۸MHz) δppm ۱۲۵ , ۱۰۹/۹۴, ۱۱۰/۱۱, ۱۱۸/۰.۳, ۱۳۰/۴۳, ۱۳۰/۵۰, ۱۴۷/۷. ۰ , ۵۷/۰.۲, ۶۷/۴۴, ۱۰۲/۷۴, ۱۰۸/۶۸, ۱۰۹/۰.۴, ۱۰۹/۲۴ [M]⁺.۴۳۶. MS (ESI): m/z ۴۷/۷۶, ۵۱/۴۵

سپس سلول ها در دمای ۳۷ درجه سانتی گراد در اتمسفر ۵ درصد CO₂ انکوبه شدند. پس از ۷۲ ساعت برای مقایسه سرعت مهاجرت سلولی قبل و بعد از قرار گرفتن در معرض ترکیبات سنتز شده مجدد توسط میکروسکوپ فلورسانس عکس گرفته شد (۴۳, ۴۲).

یافته ها

مسیر سنتز ترکیبات ۸a-f در تصویر شماره ۲ نشان داده شده است.



- 7a: R₁=4-bromo-2-fluorophenyl, R₂=dimethylamine
 8a: R₁=4-bromo-2-methylphenyl, R₂=dimethylamine
 7b: R₁=4-bromo-2-methylphenyl
 8b: R₁=3-fluorophenyl, R₂=dimethylamine
 7c: R₁=3-fluorophenyl
 8c: R₁=4-bromo-2-fluorophenyl, R₂=piperidine
 8d: R₁=4-bromo-2-methylphenyl, R₂=piperidine
 8e: R₁=4-bromo-2-methylphenyl, R₂=piperidine
 8f: R₁=3-fluorophenyl, R₂=piperidine

تصویر شماره ۱: مسیر سنتز ترکیبات ۸a-f نتایج مربوط به خصوصیات فیزیکو شیمیایی و طیف سنجی ترکیبات ۸a-f به صورت زیر می باشد.

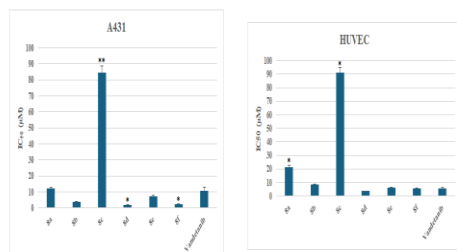
-N-برومو-2-فلوروفنیل)-7-(دی متیل آمینو)اتوكسی)-6-متوكسی کینازولین-4-آمین (8a) $^{\circ}\text{C}$; IR (KBr, ۲۲۶-۲۲۴; %نقطه ذوب= بازده ۴۸; (CH₂O), ۱۴۱۵(NH-aniline), ۳۳۴۸cm^{-۱}) vmax: MHz): ۵۰.O). ¹HNMR (DMSO-*d*₆, τ (CH)۱۳۴ H, H-C₂ ۱(s, Δ /۳۴H, H-N aniline), ۱(s, ۹/۶۵δppm ۷/۶۴H, H-C₅ quinazoline), ۱(s, ۷/۸۲quinazoline), (brs, ۱H, H-C₃ ۷/۵۴H, H-C₆ aniline), ۱Hz, ۸(d, J = H, H-C₅ aniline), ۱Hz, ۷/۵(d, J =۷/۴۵aniline), H, ۲(brs, ۴/۱۸H, H-C₈ quinazoline), ۱(s, ۷/۲۰ H, NCH₂), ۲(brs, ۲/۸۶,)H, OCH₃۳(s, ۳/۹۳,)OCH₂ H, ۱۲۵H, N(CH₃)₂). ¹³CNMR (DMSO-*d*₆, ۶(s, ۲/۵۷ , ۱۵۲/۸۶, ۱۵۳/۶۵, ۱۵۵/۶۴, ۱۵۶/۸۷MHz) δppm ۱۱۹/۳۵, ۱۲۷/۴۲, ۱۲۷/۴۴, ۱۲۹/۴۸, ۱۴۶/۹۰, ۱۴۹/۰.۰ , ۵۶/۱۵, ۶۷/۲۸, ۱۰۲/۱۱, ۱۰۷/۶۸, ۱۰۸/۴۴, ۱۱۹/۱۶ [M]⁺.۴۳۴. MS (ESI): m/z ۵۰/۹۵

-۳-فلوروفنیل)-۶-متوکسی-۷-(۲-(پیپریدین-۱-یل)اتوکسی)کینازولین-۴-آمین (8f) $^{\circ}\text{C}$; IR (KBr, ۱۹۶-۱۹۴; %نقطه ذوب= بازده ۴۰: (CH₂O), ۱۴۴۴(NH-aniline), ۳۴۰۶cm^{-۱}) v_{max}: MHz): ۵۰.O). ¹H NMR (DMSO-*d*₆, δ (CH)۱۲۱۳ H, H-C₂ ۱(s, δ /۵H, H-N aniline), ۱(s, ۹/۴۸ppm (s, γ /۸(s, ۱H, H-C₂ aniline), γ /۹quinazoline), H, H-C₆ ۱Hz, γ (d, J=۷/۴۴H, H-C₅ quinazoline), ۱ (s, γ /۲۳ aniline), δ H, H-C₁Hz, γ (d, J=۷/۴aniline), δ H, H-C₁Hz, γ (t, J=۹/۴۲H, H-C₈ quinazoline), ۱ ,)H, OCH₃۳(s, ۳/۹۷,)H, OCH₂۲(brs, ۴/۲۴aniline), H, H-C_{2,6} ۴(brs, ۲/۴H, NCH₂), ۲(brs, ۲/۷H (brs, ۶H, H-C_{3,4,5} piperidine). ۱/۴۲piperidine), , ۱۵۶/۶۹MHz) δ ppm ۱۲۵¹³C NMR (DMSO-*d*₆, , ۱۳۰/۴۰, ۱۳۰/۴۸, ۱۴۷/۶۸, ۱۴۹/۷۲, ۱۵۳/۲۲, ۱۵۴/۲۳ , ۱۰۸/۷۱, ۱۰۹/۰۲, ۱۰۹/۲۳, ۱۰۹/۶۲, ۱۱۰/۰۷, ۱۱۸/۰۳ MS ۲۶/۸۲, ۴۶/۰۴, ۵۳/۳۸, ۵۷/۰۲, ۶۷/۲۰, ۱۰۲/۷۹

[M]⁺.۳۹۶(ESI): m/z

ارزیابی سمیت سلولی مشتقات ستتر شده نهایی (8a-f) بر روی سه رده سلولی شامل HUVECs, A431 و HU02 با استفاده از روش MTT انجام شد. نتایج در جدول شماره ۱ نشان داده شده است.

هم چنین معنی داری تفاوت سمیت سلولی ترکیبات ستتر شده با واند تانیب در تصویر شماره ۳ نمایش داده شده است.



تصویر شماره ۲: IC₅₀ ترکیبات 8a-f بر روی رده های سلولی A431 و HUVECs

*تفاوت معنی دار با داروی استاندارد (واند تانیب) را نشان می دهد.

-۴-برومو-۲-فلوروفنیل)-۶-متوکسی-۷-(۲-(پیپریدین-۱-یل)اتوکسی)کینازولین-۴-آمین (8d) $^{\circ}\text{C}$; IR (KBr, ۲۳۵-۲۲۳; %نقطه ذوب= بازده ۴۲: (CH₂O), ۱۴۱۵(NH-aniline), ۳۳۵۹cm^{-۱}) v_{max}: MHz): ۵۰.O). ¹H NMR (DMSO-*d*₆, δ (CH)۱۲۱۷ H, H-C₂ ۱(s, δ /۳۵H, H-N aniline), ۱(s, ۹/۵۴ppm γ /۶۵H, H-C₅ quinazoline), ۱(s, γ /۷۴quinazoline), H, H-C₃ ۱(brs, γ /۵۲H, H-C₆ aniline), ۱Hz, δ (d, J= (s, γ /۲۲H, H-C₅ aniline), ۱Hz, Δ (d, J=۷/۴۶aniline), ۳/۹۳,)H, OCH₂۲(brs, ۴/۲۴H, H-C₈ quinazoline), ۱ H, δ (brs, ۲/۳۵H, NCH₂), ۲(brs, ۲/۷۶,)H, OCH₃۳(s, (brs, ۶H, H-C_{3,4,5} ۱/۴۲H-C_{2,6} piperidine), MHz) δ ppm ۱۲۵piperidine). ¹³C NMR (DMSO-*d*₆, , ۱۳۶/۹۷, ۱۴۶/۹۵, ۱۴۹/۰۷, ۱۵۲/۵۶, ۱۵۳/۴۸, ۱۵۶/۰۷ , ۱۰۸/۹۰, ۱۱۶/۲۷, ۱۱۶/۴۴, ۱۲۲/۲۱, ۱۲۲/۲۶, ۱۲۳/۳۵ . MS ۴۷/۰۵, ۵۰/۷۱, ۵۶/۵۰, ۶۶/۷۳, ۱۰۲/۳۹, ۱۰۷/۹۱

[M]⁺.۴۷۵(ESI): m/z

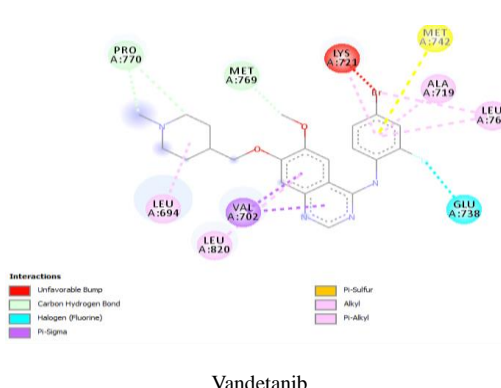
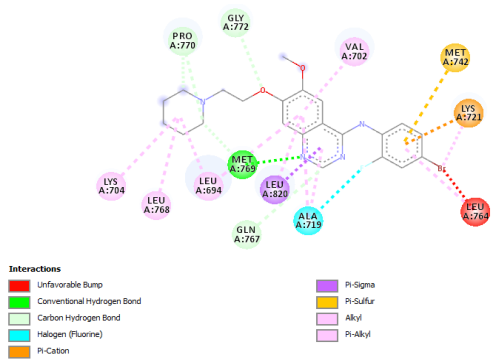
-۴-برومو-۲-متیل فنیل)-۶-متوکسی-۷-(۲-(پیپریدین-۱-یل)اتوکسی)کینازولین-۴-آمین (8e) $^{\circ}\text{C}$; IR (KBr, ۲۱۹-۲۱۷; %نقطه ذوب= بازده ۳۶: (CH₂O), ۱۴۹۲(NH-aniline), ۳۳۹۰cm^{-۱}) v_{max}: MHz): ۵۰.O). ¹H NMR (DMSO-*d*₆, δ (CH)۱۳۰۲ H, H-C₂ ۱(s, δ /۲۷H, H-N aniline), ۱(s, ۹/۴۱ppm γ /۵۳H, H-C₅ quinazoline), ۱(s, γ /۸۴quinazoline), H, H-C₆ ۱Hz, γ /۵(d, J=۷/۴۲H, H-C₃ aniline), ۱(brs, (s, γ /۱۸H, H-C₅ aniline), ۱Hz, Δ (d, J=۷/۴۷aniline), ۳/۹۳,)H, OCH₂۲(brs, ۴/۲۴H, H-C₈ quinazoline), ۱ H, δ (brs, ۲/۴۲H, NCH₂), ۲(brs, ۲/۷۸,)H, OCH₃۳(s, H, H-CH₃ C₂ aniline), ۲(s, ۲/۲۱H-C_{2,6} piperidine), (brs, ۶H, H-C_{3,4,5} piperidine). ¹³C NMR ۱/۴۲ , ۱۵۳/۵, ۱۵۷/۰۳MHz) δ ppm ۱۲۵(DMSO-*d*₆, , ۱۲۸/۸۲, ۱۳۸/۱۲, ۱۴۰/۰۵, ۱۴۰/۰۷, ۱۴۷/۵, ۱۴۹/۵۸ , ۱۰۲/۹۰, ۱۰۸/۰۴, ۱۰۹/۰۵, ۱۲۰/۱۸, ۱۲۳/۴۲, ۱۲۴/۶۴ . ۲۱/۷۸, ۲۴/۹۴, ۲۶/۱۴, ۴۷/۶۸, ۵۱/۴۹, ۵۷/۰۰, ۶۷/۶۰

[M]⁺.۴۷۱MS (ESI): m/z

جدول شماره ۱: فعالیت سیتوکسیک ترکیبات ۸a-f بر روی رده های سلولی HU02 و HUVECs و شاخص انتخابی ترکیبات بر روی رده های سلولی A431 و HUVECs

Error! Objects cannot be created from editing field codes.

ترکیبات	R ₁	R ₂	IC _{50±SD} (µM)				شاخص انتخابی
			A431	HUVEC	HU02	A431	
8a	Error! Objects cannot be created from editing field codes.	N,N دی متيل	۱۲/۳۷±۰/۶۲	۲۱/۴۹±۰/۶	۵/۰>	-	-
8b	Error! Objects cannot be created from editing field codes.	N,N دی متيل	۴/۰۴±۰/۰۱	۸/۶۲±۰/۴۸	۴۳/۳۱±۰/۰۷	۱۰/۷۲	۵/۰۲
8c	Error! Objects cannot be created from editing field codes.	N,N دی متيل	۵/۰>	>۵۰	۵/۰>	-	-
8d	Error! Objects cannot be created from editing field codes.	پیریدین	۱/۴۹±۰/۱۴	۳/۸۳±۰/۰۷	۳۶/۹۳±۰/۱۹	۱۸/۰۵	۹/۶۴
8e	Error! Objects cannot be created from editing field codes.	پیریدین	۷/۷۳±۰/۰۲	۶/۱۹±۰/۰۷	۳۵/۱±۰/۹۹	۴/۷۸	۵/۶۷
8f	Error! Objects cannot be created from editing field codes.	پیریدین	۲/۰۵±۰/۰۳	۵/۶۴±۰/۰۳	۳۱/۷۷±۰/۰۱	۱۲/۳۶	۵/۶۳
وائداتیب			۱۰/۶۲±۰/۰۵	۵/۷۰±۰/۰۴	۵/۰>	-	-

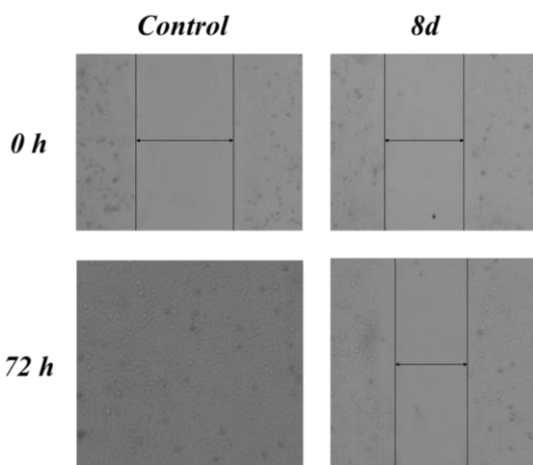


تصویر شماره ۴: برهمکنش های ترکیب ۸d و واندانیب با

علاوه بر این، مطالعه برهمکنش ترکیب ۸d و واندانیب با محل اتصال VEGFR-2 ATP مشاهده شد. برای ترکیب ۸d

برای بررسی برهمکنش ۸d به عنوان قوی ترین ترکیب سنتز شده و واندانیب (داروی استاندارد)، مطالعات داکینگ مولکولی به محل اتصال ATP در بخش تیروزین کینازی EGFR و VEGFR-2 انجام شد. اعتبارسنجی توسط کانفورماتیون فعال لیگاندهای ساختارهای کوکریستالی دو روپتور انجام شد. تصویر شماره ۴ نشان می دهد که نیتروژن شماره ۱ کینازولین ترکیب ۸d با Met769 محل اتصال ATP با انرژی اتصال ۸/۶ کیلوکالری بر مول، پیوندهای هیدروژنی تشکیل می دهد (۸d: ۲.۴۹ Å). واندانیب این برهمکنش را نشان نداد و با انرژی پیوند ۸/۴ کیلوکالری بر مول به جایگاه فعال آنزیم متصل شد. هم چنین، برهمکنش های آبگریز بین هر دو ترکیب و آمینو اسیدهای موجود در پاکت آبگریز جایگاه فعال مشاهده شد. این آمینو اسیدها شامل Val702, Leu694, Met742, Ala719, Leu764, Lys721, Ala719, Val702, Met742, Glu738, Lys721, Ala719, Val702, Leu764, Lys721, Ala719, Val702, Leu820, Leu768, Leu764, Leu764, Leu820, Leu694 برای واندانیب بودند.

پیوند هیدروژنی بین نیتروژن های شماره ۱ حلقه کینازولین ۸d: -8.8 kcal/mol, 2.71 Å؛ Cys919 را نشان داد (



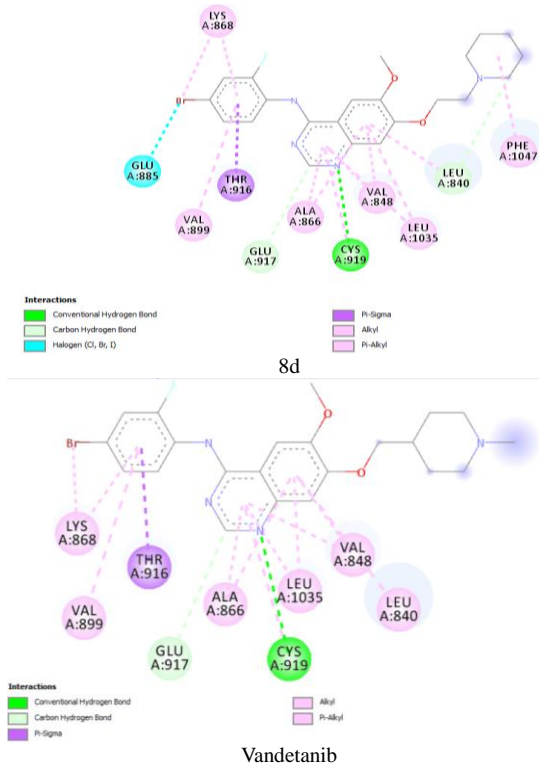
تصویر شماره ۵: تأثیر ترکیب ۸d بر مهاجرت سلولی سلول‌های HUVEC در زمان‌های ۰ و ۷۲ ساعت با استفاده از روش الیام زخم

بحث

ترکیبات ۱-۶ بر اساس روش‌های گزارش شده قبلی سنتر شدند. داده‌های نقطه ذوب، ^1H NMR و ^{13}C NMR جهت سنتر ترکیبات ۷a-c، ترکیب ۶ با سه مشتق آنیلین، شامل ۴-برومو-۲-فلوروآنیلین، ۴-برومو-۲-متیل آنیلین، ۳-فلورووآنیلین واکنش داده شد (۱۹، ۳۸-۳۱). ترکیبات نهایی (8a-f) از طریق واکنش مشتقات ۷a-c و دو آمین نوع دوم (N و N-دی متیل آمین و پیپریدین) در حضور پتاسیم یدید به دست آمد (۴۴، ۳۳).

از شش ترکیب آزمایش شده، پنج ترکیب فعالیت سیتوکسیک بهتر و قابل مقایسه ای را با واندتانیب به عنوان داروی استاندارد بر روی رده‌های سلولی A431 و 8f، 8e، 8b، 8d، 8c، 8f HUVEC از خود نشان دادند. ترکیبات ۸d، ۸e، ۸b، ۸d، ۸c، ۸f کمتر از ۱۰ میکرومولار (IC₅₀ معادل ۱۰/۶۲ میکرومولار) بهتری نسبت به واندتانیب (IC₅₀ معادل ۱۰/۹۹ میکرومولار) بر روی رده سلولی A431 از خود نشان دادند. ترکیب ۸d حاوی گروه‌های پیپریدین و ۴-برومو-۲-فلوروآنیلین به ترتیب در موقعیت‌های ۷ و ۴ حلقه کینازولین بالاترین سمیت سلولی را بر رده سلولی A431 با مقدار IC₅₀ معادل ۱/۹۹ میکرومولار را از خود نشان داد. در مطالعه‌ای توسط Chilin و همکاران، چندین مشتق کینازولین سنتر شدند و

طريق گروه ۴-برومو-۲-فلوروآنیلین برهمکش‌های آبگریز را با یک پاکت آبگریز تشکیل شده توسط آمینو اسیدهای Lys868، Ala866، Val848، Phe1047، Leu840، Leu1035، Val899 و Leu1035 را ایجاد کردند (تصویر شماره ۵).



تصویر شماره ۶: برهمکش‌های ترکیب ۸d و واندتانیب با ۲-VEGFR

بررسی مهاجرت سلولی برای مطالعه تأثیر ترکیبات ۸d بر مهاجرت سلولی رده سلولی HUVEC انجام شد. نتایج نشان داد که ترکیب ۸d قادر به جلوگیری از روند مهاجرت سلولی هستند. همان‌طور که در تصویر شماره ۶ نشان داده شده است، پس از ۷۲ ساعت، درصد بسته شدن خراش برای این ترکیب ۱۰ درصد خراش اولیه بود. در مقایسه با گروه کنترل که هیچ مهاری نشان نداد و ۱۰۰ درصد بسته شدن خراش را نشان داد.

گروه پیریدین در موقعیت شماره ۷ هسته کینازولین و به ترتیب گروههای ۴-برومو-۲-فلوئوروآنیلین و ۳-فلوئوروآنیلین در موقعیت ۴ حلقه کینازولین، بهترین سمیت سلولی (IC₅₀) به ترتیب ۳/۸۳ و ۵/۶۴ میکرومولار) در بین ترکیبات سنتز شده از خود نشان دادند. همچنین، ترکیبات ۸c و ۸e فعالیت سیتو توکسیک قابل توجهی به ترتیب با مقادیر IC₅₀ معادل ۸/۶۲ و ۸/۱۹ میکرومولار در برابر رده سلولی HUVEC از خود نشان دادند که قابل مقایسه با واندتانیب بود. ترکیب ۸c بر روی هیچ یک از رده های سلولی سمیت سلولی معنی داری را نسبت به داروی استاندارد (واندتانیب) از خود نشان نداد (IC₅₀ بالاتر از ۵۰ میکرومولار).

در یک مطالعه، مشتقات اوره ۷-آمینوآلکوكسی کینازولین سنتز شدن و اکثر ترکیبات سمیت سلولی قابل توجهی را در برابر رده سلولی HUVEC با مقادیر IC₅₀ در محدوده ۰/۱۲ تا ۴/۳۹ میکرومولار نشان دادند (۴۷). Xi و همکاران فعالیت سیتو توکسیک برخی از مشتقات ۵-آنیلین کینازولین-۸-نیترو را گزارش کردند و نشان دادند که ترکیبات با قرار دادن گروه های ۳-متیل، ۲-کلرو-۵-فلوئورو و ۲ و ۵-دی کلرو بر روی فنیل اوره در موقعیت ۴ هسته کینازولین فعالیت سیتو توکسیک قابل توجهی از خود نشان دادند (مقادیر IC₅₀ به ترتیب معادل ۶/۴ و ۵/۷ و ۱/۸ میکرومولار) (۴۸). حلقه کینازولین حاوی حلقه ایندازول استخلاف شده با ۳ و ۴-دی کلروفنیل نیز در برابر رده سلولی HUVEC (IC₅₀ معادل ۰/۰۸۷ میکرومولار) پوتنسی بسیار بالایی را نشان داد (۴۸).

ترکیبات ۸d و ۸f سمیت سلولی بالاتری را نسبت به HUVEC و A431 واندتانیب بر روی رده های سلولی IC₅₀ به ترتیب ۱/۹۹ و ۲/۵۷ میکرومولار برابر روی A431 و ۳/۸۳ و ۵/۶۴ میکرومولار بر روی (HUVECs). این ترکیبات احتمالاً با مهار کردن فعالیت های تیروزین کیناز EGFR و VEGFR-2 اثرات سیتو توکسیک قابل توجهی از خود نشان می دهند و این اثر، آن ها را به کاندیدایی امیدوار کننده ای برای مطالعات بیشتر در طراحی ترکیبات ضد سرطانی جدید تبدیل

از بین آن ها، دی او کسینو ۴-آنیلینوکینازولین حاوی ۳-متیل آنیلین در موقعیت ۴ هسته کینازولین بهترین سمیت سلولی را در برابر رده سلولی A431 با IC₅₀ معادل ۰/۶۷ میکرومولار از خود نشان داد (۱۰). مطالعه دیگری توسط Yu و همکاران بر روی ترکیبات جدید ۴-آنیلینوکینازولین نشان داد ترکیب حاوی یک گروه ۱-آدامانتیل در موقعیت ۴ حلقه آنیلین و یک گروه متوكسی اتوکسی در موقعیت های ۶ و ۷ هسته کینازولین سمیت سلولی معنی داری را در برابر رده سلولی A431 با IC₅₀ معادل ۱/۰۲ میکرومولار از خود نشان داد (۱۳). علاوه بر این، مشتقات ۶ و ۷-بیس (۳-مورفولینوپروپوکسی)-۴-آنیلینوکینازولین سنتز شدند و در این دسته ترکیب با (E) - پروپن-۱-ایل در موقعیت ۴ حلقه آنیلین بهترین IC₅₀ (۱/۳۵ میکرومولار) را از خود نشان داد (۴۵). همچنین مطالعات عظیمان و همکاران بر روی مشتقات ۴-آنیلینوکینازولین نشان داد ترکیب حاوی تولیل در موقعیت ۴ هسته کینازولین و ایمیدازول در موقعیت ۷ حلقه کینازولین با IC₅₀ معادل ۰/۱۱ میکرومولار بهترین اثرا بر روی رده سلولی A431 از خود نشان داد (۳۹، ۳۲، ۳۱). بر اساس تحقیق حاضر و سایر مطالعات، به نظر می رسد که گروه های لیوفیل مانند متیل و هالوژنهای موجود بر روی حلقه آنیلین و آمین های هتروساپاکلیک در موقعیت ۷ هسته کینازولین می توانند باعث افزایش سمیت سلولی بر روی رده سلولی A431 شوند.

رده سلولی HUVEC مرسوم ترین سلول های اندوتیال انسان هستند که از اندوتیلیوم ورید بند ناف جدا شده اند. بررسی های آنژیوژن آزمایشگاهی نشان داده اند که بد خیمی های همراه با آنژیوژن، بیان بیش از حد VEGFR-2 را نشان می دهند. همچنین ثابت شده است که مهار فعالیت تیروزین کیناز-2 ناشی از اتصال VEGF به بخش خارج سلولی ۲ VEGFR موجود در رده سلولی HUVEC می تواند آنژیوژن را متوقف کند (۴۶). اکثر ترکیبات سنتز شده سمیت سلولی قابل مقایسه با واندتانیب (داروی استاندارد) را بر روی سلول های HUVEC از خود نشان دادند. ترکیبات ۸d و ۸f حاوی

گردید. ترکیب حاوی ۴-برومو-۲-متیل آنیلین بهترین اثر را نشان داد. جایگزینی متیل با گروه فلورور و یا انتقال فلورور به موقعیت متأحلقه آنیلین سبب کاهش معنی داری در اثرات سمتی سلولی شد. نتایج کلی این دسته نشان داد مشتقات آنیلین، ۴-دواستخلافی حاوی گروه الکترون دهنده اثرات بهتری را نسبت به ترکیبات ۲ و ۴-دواستخلافی و ۳-تک استخلافی حاوی گروه الکترون کشنده از خود نشان داد.

بررسی برهمکنش 8d به عنوان قوی ترین ترکیب سنتر شده و واندتاپیب (داروی استاندارد) توسط مطالعات داکینگ مولکولی با محل اتصال ATP در بخش تیروزین کینازی EGFR و VEGFR-2 نشان داد که نیتروژن شماره ۱ کینازولین ترکیب 8d با ۸/۶ محل اتصال ATP EGFR با انرژی اتصال ۲.۴۹ Å (۸d: ۲.۴۹ Å). این پیوند برای فرار گیری مناسب هسته کینازولین در جایگاه فعال EGFR بسیار مهم است. واندتاپیب این برهمکنش را نشان نداد و با انرژی پیوند ۸/۴ کیلو کالری بر مول، پیوندهای هیدروژنی تشکیل می‌دهد نسبت به واندتاپیب به دلیل تشکیل همین پیوند و انرژی بالاتر پیوند باشد. همچنین، برهمکنش‌های آبگریز بین هر دو ترکیب و آمینو اسیدهای موجود در پاکت آبگریز جایگاه فعال EGFR مشاهده شد. این آمینو اسیدها شامل Val702، Ala719، Val702، Ala719، Leu764، Leu820، Lys704، Leu694، Lys721، Lys721، Leu764، Leu820، Leu694، Met742، Glu738 برای واندتاپیب بودند. همچنین یک برهمکنش نامطلوب با Leu764 برای ترکیب 8d و Lys721 برای واندتاپیب مشاهده شد. با توجه به تفاوت استخلاف‌های به کار رفته در ترکیب 8d و واندتاپیب نوع برهمکنش‌ها در این دو ترکیب تفاوت‌هایی دارد. این تفاوت‌ها می‌توانند ناشی از تفاوت‌های ساختاری و کانفورماتیون‌های مختلف در مطالعات داکینگ باشد. در سایر مطالعات که در منابع

می‌کند. شایان ذکر است که همه ترکیبات، سمتی سلولی بسیار پایین تری علیه رده سلولی سالم HU02 (IC₅₀) بالاتر از ۳۰ میکرومولار) نسبت به رده‌های سلولی سرطانی از خود نشان دادند. این ممکن است به دلیل بیان طبیعی VEGFR-2 و EGFR در این رده سلولی باشد. با توجه به اثر سیتو توکسیک قوی ترکیب 8d بر روی رده‌های سلولی A431 و HUVEC، و همچنین سمتی سلولی بسیار پایین بر روی رده سلولی HU02 این احتمال وجود دارد که این ترکیب اثر خود را از طریق مهار فعالیت تیروزین کیناز EGFR و VEGFR-2 اعمال می‌کند. شاخص انتخابی (SI) غلطی از ترکیبات را نشان می‌دهد که منجر به کاهش ۵۰ درصدی زنده ماندن در سلول‌های سرطانی می‌تواند ۵۰ درصد زنده ماندن در سالمن به غلطی که می‌تواند ۵۰ درصد زنده ماندن در سلول‌های سرطانی را کاهش دهد. این شاخص برای ارزیابی اینمی و اثر بخشی مواد مختلف استفاده می‌شود. SI بالاتر از سه اختصاصیت بیشتر بر روی رده‌های سلولی سرطانی نسبت به سلول‌های طبیعی را نشان می‌دهد. در این مطالعه، ترکیب 8d بالاترین شاخص‌های گزینش پذیری (۱۸/۵۵) بر روی A431 و ۹/۶۴ بر روی HUVEC را نشان داد که نشان دهنده اینمی این ترکیب است. تحقیقات بیشتر در مورد فعالیت مهاری ترکیبات VEGFR-2 و EGFR قوی بر روی فعالیت تیروزین کیناز EGFR و VEGFR-2 این ترکیب را نشان دادند.

جهت تعیین مکانیسم دقیق اثر آن‌ها لازم است (۴۹). بررسی ساختار مشتقات حاوی گروه پیپریدین نشان داد بهترین اثر با حلقه آنیلین حاوی گروه‌های ۴-برومو-۲-فلورو این حلقه دیده می‌شود. جایگزینی گروه فلورور با متیل باعث کاهش معنی داری در اثرات سمتی سلولی این دسته بر روی هر دو رده سلولی سرطانی گردید. قرار دادن گروه فلورور در موقعیت متأحلقه باعث بهبود سمتی سلولی این گروه نسبت به واندتاپیب بر روی هر دو رده سلول‌های سرطانی شد. بهطور کلی در این دسته گروه‌های الکترون کشنده بر روی حلقة آنیلین بدون در نظر گرفتن موقعیت باعث بهبود اثر بخشی نسبت به ترکیب استاندارد گردید. در ترکیبات حاوی دی متیل آمین نتایج کاملاً متضادی مشاهده

هم کنش‌های π -آلکیل با آمینواسیدهای مختلف، مانند Ala868، Val848، Leu1035، Leu840، Val916، Val898، Val899، Val894، Phe918، Val895 و Cys1045 اشاره کرد (۵۷-۵۹).

به دلیل نقش غیرقابل انکار مهاجرت سلولی در پیشرفت سرطان و متاستاز، بررسی مهاجرت سلولی برای مطالعه تاثیر ترکیبات 8d بر مهاجرت سلولی رده سلولی HUVEC انجام شد. نتایج نشان داد که ترکیب 8d قادر به جلوگیری از روند مهاجرت سلولی هستند. همان طور که در تصویر شماره ۶ نشان داده شده است، پس از تیمار سلول‌ها با ۵ میکرومولار از این ترکیب به مدت ۷۲ ساعت در صد بسته شدن خراش برای این ترکیب ۱۰ درصد خراش اولیه بود. در مقایسه با گروه کنترل که هیچ مهاری نشان نداد و ۱۰۰ درصد بسته شدن خراش را نشان داد، ترکیب فوق اثرات بازدارندگی قابل توجهی بر مهاجرت سلولی داشت. مطالعات بر روی مشتقات هیرید کینازولین-(4-(3H)-اون و سولفاکلروپیریدازین نشان داد که ترکیب با یک گروه فن‌اتیل در موقعیت ۳ حلقه کینازولین دارای ترمیم خراش معادل ۵۸/۵۲ درصد در غلظت ۱۰ میکروگرم بر میلی‌لیتر پس از ۷۲ ساعت در مقایسه با گروه کنترل با ۹۹ درصد ترمیم خراش بود (۶۰). Elkady هم‌چنین مشتقات ستز شده بنزوکسانازول توسط خراش در ترکیب با گروه‌های متوكسی و کلرو (۴۷/۲) درصد در مقایسه با گروه شاهد (۹۵/۸۶ درصد) بود (۶۱). یک سری از مشتقات π -آنیلینوکینازولین طراحی و به عنوان ترکیبات با سمیت سلولی، با قرار دادن گروه های پیریدین و N-O-Dی میل آمین در موقعیت ۷ حلقه کینازولین، ستز شدند. این ترکیبات بر روی دو رده سلولی سرطانی (A431 و HUVEC) و همچنین یک رده سلولی سالم (HU02) با روش MTT تست شدند. نتایج طیف‌سنجدی، IR، NMR و Mass ساختار ترکیبات ستز شده را تایید کرد. اکثر ترکیبات ستز شده فعالیت سیتوتوکسیک قابل توجهی را بر روی رده های سلولی سرطانی به نسبت واندانیب نشان دادند، در

آمده است نیز این تفاوت در نوع آمینواسیدهای برهمکنش دهنده دیده می‌شود (۵۰). مطالعات مختلفی برهمکنش‌های مشابهی را بین مهارکننده‌های تیروزین کیناز EGFR و محل اتصال ATP تیروزین کیناز EGFR گزارش کرده‌اند. در تمامی این مطالعات، پیوند هیدروژنی بین نیتروژن هتروسیکلیک و آمینو اسید کلیدی EGFR Met769، مهم ترین پیوند برای EGFR قرار گیری بهینه مهارکننده‌ها در جایگاه فعال EGFR است. علاوه بر این، برهمکنش‌های آبگریز با Leu694 و Lys721 و هم‌چنین برهمکنش کاتیون π با Leu820 گزارش شده است. هسته کینازولین هم‌چنین با اسیدهای Leu768 و Leu694، Ala719، Ile765، Met769، Leu761 و آمینه Ile765، Leu764، Phe832، Ile765، Ile720، Leu753، Met742، Leu753 و هم‌چنین برهمکنش‌های آبگریز با Thr830 و Leu766 را نشان داده است (۵۱-۵۶).

علاوه بر این، مطالعه برهمکنش ترکیب 8d و واندانیب با محل اتصال VEGFR-2 ATP تشکیل یک پیوند هیدروژنی بین نیتروژن‌های شماره ۱ حلقه 8d: ۸.۸ kcal/mol، Cys919 را نشان داد (۵۷). هر کینازولین و Vandetanib: -۸.۴ kcal/mol، ۲.۸۰ \AA ۲.۷۱ \AA ; دو ترکیب از طریق گروه π -برومو-۲-فلوئورو آنیلین برهمکنش‌های آبگریز را با یک پاکت آبگریز تشکیل شده توسط آمینو اسیدهای Ala866، Val848، Leu840، Leu1035، Val899، Thr916، Lys868 Phe1047 را ایجاد کردند (تصویر شماره ۵). در راستای مطالعات دیگر، آمینواسید Cys919 یک پیوند هیدروژنی حیاتی با نیتروژن حلقه‌های هتروسیکلیک مختلف، مانند کینازولین، پیریمیدین، ایندول و کینولون تشکیل می‌دهد. هم‌چنین، مهارکننده‌ها برهمکنش‌های دیگری را با جایگاه فعال VEGFR-2 شان دادند، از جمله این بر هم‌کنش‌ها می‌توان به برهمکنش π -Phe1047، برهمکنش کاتیون- π با Lys868 و بر

بیشتر و بهینه سازی ساختاری برای طراحی ترکیبات ضد سرطان جدید باشد.

سپاسگزاری

از معاونت تحقیقات و فناوری دانشگاه علوم پزشکی گیلان جهت حمایت مالی صمیمانه سپاسگزاری می‌گردد. این اثر پژوهشی، مربوط به پایاننامه دانشجویان داروسازی آقای عبدالرحیم مختومی و آقای رامین بابایی در دانشکده داروسازی دانشگاه علوم پزشکی گیلان می‌باشد.

حالی که سمیت سلولی پایینی برای HU02 نشان دادند. لازم به ذکر است، ترکیب 8d بالاترین سمیت سلولی و شاخص انتخابی را بر روی هر دو رده سلولی سرطانی نشان داد. مطالعات داکینگ مولکولی تأیید کرد که ترکیب 8d نسبت به واندتایپ ابرژی اتصال بالاتری به EGFR و VEGFR-2 نشان می‌دهد. علاوه بر این، ترکیب 8d فعالیت بازدارندگی بالایی را در مهاجرت سلولی نشان داد. این یافته‌ها نشان می‌دهد که ترکیب 8d می‌تواند یک کاندید امیدوارکننده برای مطالعات

References

1. Lemmon MA, Schlessinger J. Cell signaling by receptor tyrosine kinases. *Cell* 2010;141(7):1117-1134 PMID: 20602996.
2. Liao JJ-L. Molecular recognition of protein kinase binding pockets for design of potent and selective kinase inhibitors. *J Med Chem* 2007; 50(3) :409-424 PMID: 17266192.
3. Blume-Jensen P, Hunter T. Oncogenic kinase signalling. *Nature* 2001; 411(6835): 355-65.
4. Sheng Q, Liu J. The therapeutic potential of targeting the EGFR family in epithelial ovarian cancer. *Br J Cancer* 2011; 104(8): 1241-1245.
5. Wu X, Li M, Qu Y, Tang W, Zheng Y, Lian J, et al. Design and synthesis of novel gefitinib analogues with improved anti-tumor activity. *Bioorg Med Chem* 2010; 18(11): 3812-3822 PMID: 20466555.
6. Janmaat ML, Giaccone G. Small-molecule epidermal growth factor receptor tyrosine kinase inhibitors. *Oncologist* 2003; 8(6): 576-586 PMID: 14657536.
7. de Castro Barbosa ML, Lima LM, Tesch R, Sant'Anna CMR, Totzke F, Kubbutat MH, et al. Novel 2-chloro-4-anilino-quinazoline derivatives as EGFR and VEGFR-2 dual inhibitors. *Eur J Med Chem* 2014; 71: 1-14 PMID: 24269511.
8. Garofalo A, Goossens L, Lemoine A, Farce A, Arlot Y, Depreux P. Quinazoline-urea, new protein kinase inhibitors in treatment of prostate cancer. *J Enzyme Inhib Med Chem* 2010; 25(2): 158-171 PMID: 20222760.
9. Garofalo A, Goossens L, Lemoine A, Ravez S, Six P, Howsam M, et al. [4-(6, 7-disubstituted quinazolin-4-ylamino) phenyl] carbamic acid esters: A novel series of dual egfr/vegfr-2 tyrosine kinase inhibitors. *Med Chem Comm* 2011; 2(1):65-72.
10. Chilin A, Conconi MT, Marzaro G, Guiotto A, Urbani L, Tonus F, et al. Exploring epidermal growth factor receptor (EGFR) inhibitor features: The role of fused dioxygenated rings on the quinazoline scaffold. *J Med Chem* 2010; 53(4): 1862-1866 PMID: 20095624.
11. Antonello A, Tarozzi A, Morroni F, Cavalli A, Rosini M, Hrelia P, et al. Multitarget-directed drug design strategy: A novel molecule designed to block epidermal growth factor receptor (EGFR) and to exert proapoptotic effects. *J Med Chem* 2006; 49(23): 6642-6645 PMID: 17154492.
12. Pawar VG, Sos ML, Rode HB, Rabiller M, Heynck S, Van Otterlo WA, et al. Synthesis and biological evaluation of 4-

- anilinoquinolines as potent inhibitors of epidermal growth factor receptor. *J Med Chem* 2010; 53(7): 2892–2901.
13. Yu H, Li Y, Ge Y, Song Z, Wang C, Huang S, et al. Novel 4-anilinoquinazoline derivatives featuring an 1-adamantyl moiety as potent egfr inhibitors with enhanced activity against NSCLC cell lines. *Eur J Med Chem* 2016;110(3): 195-203 PMID: 26829280.
 14. Kim YS, Li F, O'Neill BE, Li Z. Specific binding of modified ZD6474 (vandetanib) monomer and its dimer with vegf receptor-2. *Bioconjug Chem* 2013; 24(11): 1937-1944 PMID: 24089699.
 15. Shi L, Wu TT, Wang Z, Xue JY, Xu YG. Discovery of quinazolin-4-amines bearing benzimidazole fragments as dual inhibitors of c-met and VEGFR-2. *Bioorg Med Chem* 2014; 22(17): 4735-4744 PMID: 25082515.
 16. Abou-Seri SM, Eldehna WM, Ali MM, Abou El Ella DA. 1-piperazinylphthalazines as potential VEGFR-2 inhibitors and anticancer agents: Synthesis and in vitro biological evaluation. *Eur J Med Chem* 2016; 107: 165-179 PMID: 26590508.
 17. Hasegawa M, Nishigaki N, Washio Y, Kano K, Harris PA, Sato H, et al. Discovery of novel benzimidazoles as potent inhibitors of TIE-2 and VEGFR-2 tyrosine kinase receptors. *J Med Chem* 2007; 50(18): 4453-4470 PMID: 17676829.
 18. Wissner A, Fraser HL, Ingalls CL, Dushin RG, Floyd MB, Cheung K, et al. Dual irreversible kinase inhibitors: Quinazoline-based inhibitors incorporating two independent reactive centers with each targeting different cysteine residues in the kinase domains of EGFR and VEGFR-2. *Bioorg Med Chem* 2007; 15(11): 3635-3648 PMID: 17416531.
 19. Xi L, Zhang JQ, Liu ZC, Zhang JH, Yan JF, Jin Y, et al. Novel 5-anilinoquinazoline-8-nitro derivatives as inhibitors of VEGFR-2 tyrosine kinase: Synthesis, biological evaluation and molecular docking. *Org Biomol Chem* 2013;11(26):4367-4378 PMID: 23715382.
 20. Garofalo A, Goossens L, Six P, Lemoine A, Ravez S, Farce A, et al. Impact of aryloxy-linked quinazolines: A novel series of selective VEGFR-2 receptor tyrosine kinase inhibitors. *Bioorg Med Chem Lett* 2011; 21(7): 2106-2112 PMID: 21353546.
 21. Mohammed AH, Gomaa RM, El-Sayed MAA, Selim KB. Synthesis, antitumor activities, and molecular modeling of 4-anilinoquinazoline derivatives as EGFR-TK inhibitors. *Pharmaceutical Chemistry Journal* 2023; 57(8):1215-1229.
 22. Xu P, Chu J, Li Y, Wang Y, He Y, Qi C, et al. Novel promising 4-anilinoquinazoline-based derivatives as multi-target RTKs inhibitors: Design, molecular docking, synthesis, and antitumor activities in vitro and vivo. *Bioorg Med Chem* 2019; 27(20): 114938 PMID: 31488358.
 23. Ismail RS, Abou-Seri SM, Eldehna WM, Ismail NS, Elgazwi SM, Ghabbour HA, et al. Novel series of 6-(2-substitutedacetamido)-4-anilinoquinazolines as EGFR-ERK signal transduction inhibitors in MCF-7 breast cancer cells. *Eur J Med Chem* 2018; 155: 782-796 PMID: 30047410.
 24. Wei H, Duan Y, Gou W, Cui J, Ning H, Li D, et al. Design, synthesis and biological evaluation of novel 4-anilinoquinazoline derivatives as hypoxia-selective EGFR and VEGFR-2 dual inhibitors. *Eur J Med Chem* 2019; 181: 111552 PMID: 31387063.

25. Dou D, Wang J, Qiao Y, Wumaier G, Sha W, Li W, et al. Discovery and optimization of 4-anilinoquinazoline derivatives spanning atp binding site and allosteric site as effective EGFR-c797s inhibitors. *Eur J Med Chem* 2022; 244: 114856 PMID: 36279692.
26. Hennequin LF, Stokes ES, Thomas AP, Johnstone C, Plé PA, Ogilvie DJ, et al. Novel 4-anilinoquinazolines with C-7 basic side chains: Design and structure activity relationship of a series of potent, orally active, VEGF receptor tyrosine kinase inhibitors. *J Med Chem* 2002; 45(6): 1300-1312 PMID: 11881999.
27. Hennequin LF, Thomas AP, Johnstone C, Stokes ES, Plé PA, Lohmann J-JM, et al. Design and structure– activity relationship of a new class of potent VEGF receptor tyrosine kinase inhibitors. *J Med Chem* 1999; 42(26): 5369-5389 PMID: 10639280.
28. Zhang HQ, Gong FH, Li CG, Zhang C, Wang YJ ,Xu YG, et al. Design and discovery of 4-anilinoquinazoline-acylamino derivatives as EGFR and VEGFR-2 dual tk inhibitors. *Eur J Med Chem* 2016; 109: 371-379.
29. Alagawani S, Vasilyev V, Clayton AH, Wang F. Insights into halogen-induced changes in 4-anilinoquinazoline EGFR inhibitors: A computational spectroscopic study. *Molecules* 2024; 29(12): 2800 PMID: 38930865.
30. Yousefbeyk F, Ghasemi S. A review of quinazoline-based EGFR/VEGFR-2 dual inhibitors as potent anticancer agents: Structure-activity relationship and docking studies. *Pharm Sci* 2025; 31(1):43-64.
31. Azmian Moghadam F, Kefayati H, Evazalipour M, Ghasemi S. Design, synthesis, biological evaluation, and docking study of novel 4-anilinoquinazolines derivatives as anticancer agents. *Iranian Journal of Chemistry and Chemical Engineering* 2022; 41(2): 353-367.
32. Moghadam FA, Evazalipour M, Kefayati H, Ghasemi S. 6,7-disubstituted-4-anilinoquinazoline: Design, synthesis and anticancer activity as a novel series of potent anticancer agents. *Pharm Sci* 2021; 27(2): 209-218.
33. Zhao F, Lin Z, Wang F, Zhao W, Dong X. Four-membered heterocycles-containing 4-anilino-quinazoline derivatives as epidermal growth factor receptor (EGFR) kinase inhibitors. *Bioorg Med Chem Lett* 2013; 23(19): 5385-5388 PMID: 23973168.
34. Ghasemi S, Sharifi S, Mojarrad JS. Design, synthesis and biological evaluation of novel piperazinone derivatives as cytotoxic agents. *Adv Pharm Bull* 2020; 10(3): 423-429.
35. Holladay MW, Campbell BT, Rowbottom MW, Chao Q, Sprankle KG, Lai AG, et al. 4-quinazolinlyoxy-diaryl ureas as novel brafv600e inhibitors. *Bioorg Med Chem Lett* 2011; 21(18): 5342-5346 PMID: 21807507.
36. Mozaffari S, Ghasemi S, Baher H, Khademi H, Amini M, Sakhteman A, et al. Synthesis and evaluation of some novel methylene-bridged aryl semicarbazones as potential anticonvulsant agents. *Medicinal Chemistry Research* 2012; 21(11): 3797-3808.
37. Zhang N, Wu B, Powell D, Wissner A, Floyd MB, Kovacs ED, et al. Synthesis and structure–activity relationships of 3-cyano-4-(phenoxyanilino) quinolines as mek (MAPKK) inhibitors. *Bioorg Med Chem Lett* 2000; 10(24): 2825-2828 PMID: 11133101.
38. Zhang Y, Gao H, Liu R, Liu J, Chen L, Li X, et al. Quinazoline-1-deoxynojirimycin

- hybrids as high active dual inhibitors of egfr and α -glucosidase. *Bioorg Med Chem Lett* 2017; 27(18): 4309-4313 PMID: 28838691.
39. Moghadam FA, Dabirian S, Tavani AE, Alipour P, Mojabi M, Evazalipour M, et al. Application of a deep eutectic solvent for the synthesis of novel imidazole-containing quinazoline derivatives as potent cytotoxic agents. *Pharm Sci* 2024; 30(2): 215-228.
40. Yousefbeyk F, Hemmati G, Gholipour Z, Ghasemi S, Evazalipour M, Schubert C, et al. Phytochemical analysis, antioxidant, cytotoxic, and antimicrobial activities of golden chamomile (*matricaria aurea* (loefl.) schultz bip). *Z Naturforsch C J Biosci* 2022; 77(7-8): 331-342 PMID: 35231163.
41. Robichaux JP, Elamin YY, Tan Z, Carter BW, Zhang S, Liu S, et al. Mechanisms and clinical activity of an egfr and her2 exon 20-selective kinase inhibitor in non-small cell lung cancer. *Nat Med* 2018; 24(5): 638-646 PMID: 29686424.
42. Cheng W-Y, Chiao M-T, Liang Y-J, Yang Y-C, Shen C-C, Yang C-Y. Luteolin inhibits migration of human glioblastoma u-87 mg and t98g cells through downregulation of CDC42 expression and pi3k/AKT activity. *Molecular biology reports* 2013;40(9):5315-26.
43. Shen F-Q, Shi L, Wang Z-F, Wang C-R, Chen J-J, Liu Y, et al. Design, synthesis, biological evaluation of benzoyl amide derivatives containing nitrogen heterocyclic ring as potential VEGFR-2 inhibitors. *Bioorg Med Chem* 2019; 27(17): 3813-3824 PMID: 31327679.
44. Garofalo A, Farce A, Ravez Sv, Lemoine Al, Six P, Chavatte P, et al. Synthesis and structure-activity relationships of (aryloxy) quinazoline ureas as novel, potent, and selective vascular endothelial growth factor receptor-2 inhibitors. *J Med Chem* 2012; 55(3): 1189-1204 PMID: 22229669.
45. Chen L, Zhang Y, Liu J, Wang W, Li X, Zhao L, et al. Novel 4-arylaminquinazoline derivatives with (e)-propen-1-yl moiety as potent EGFR inhibitors with enhanced antiproliferative activities against tumor cells. *Eur J Med Chem* 2017; 138: 689-697.
46. Zhang Y, Chen Y, Zhang D, Wang L, Lu T, Jiao Y. Discovery of novel potent VEGFR-2 inhibitors exerting significant antiproliferative activity against cancer cell lines. *J Med Chem* 2018; 61(1): 140-157 PMID: 29189002.
47. Ravez S, Barczyk A, Six P, Cagnon A, Garofalo A, Goossens L, et al. Inhibition of tumor cell growth and angiogenesis by 7-aminoalkoxy-4-aryloxy-quinazoline ureas, a novel series of multi-tyrosine kinase inhibitors. *Eur J Med Chem* 2014;79:369-381 PMID: 24747748.
48. Elsayed NM, Serya RA, Tolba MF, Ahmed M, Barakat K, Abou El Ella DA, et al. Design, synthesis, biological evaluation and dynamics simulation of indazole derivatives with antiangiogenic and antiproliferative anticancer activity. *Bioorg Chem* 2019;82: 340-359 PMID: 30428414.
49. Yousefbeyk F, Ghasemi S, Evazalipour M, Dabirian S, Schubert C, Hekmatnia S, et al. Phytochemical analysis, antioxidant, antibacterial, and cytotoxic activities of leaves and roots of *rubus hyrcanus* juz. European Food Research and Technology 2022; 248(1): 141-152.
50. Ghorab MM, Soliman AM, El-Adl K, Hanafy NS. New quinazoline sulfonamide derivatives as

- potential anticancer agents: Identifying a promising hit with dual EGFR/VEGFR-2 inhibitory and radiosensitizing activity. *Bioorg Chem* 2023; 140: 106791 PMID: 37611529.
51. Sangande F, Julianti E, Tjahjono DH. Ligand-based pharmacophore modeling, molecular docking, and molecular dynamic studies of dual tyrosine kinase inhibitor of EGFR and VEGFR2. *Int J Mol Sci* 2020; 21(20):7779.
 52. Nasab RR, Mansourian M, Hassanzadeh F, Shahlaei M. Exploring the interaction between epidermal growth factor receptor tyrosine kinase and some of the synthesized inhibitors using combination of in-silico and in-vitro cytotoxicity methods. *Res Pharm Sci* 2018;13(6):509-522 PMID: 30607149.
 53. Al-Warhi T, El Kerdawy AM, Said MA, Albohy A, Elsayed ZM, Aljaeed N, et al. Novel 2-(5-aryl-4,5-dihydropyrazol-1-yl) thiazol-4-one as EGFR inhibitors: Synthesis, biological assessment and molecular docking insights. *Drug Des Devel Ther* 2022; 16: 1457-1471
 54. Verma G, Khan MF, Akhtar W, Alam MM, Akhter M, Alam O, et al. Pharmacophore modeling, 3d-QSAR, docking and adme prediction of quinazoline based egfr inhibitors. *Arabian Journal of Chemistry* 2019;12(8):4815-4839.
 55. Thirumurugan K, Lakshmanan S, Govindaraj D, Prabu DSD, Ramalakshmi N, Antony SA. Design, synthesis and anti-inflammatory activity of pyrimidine scaffold benzamide derivatives as epidermal growth factor receptor tyrosine kinase inhibitors. *Journal of Molecular Structure* 2018; 1171: 541-550.
 56. Choowongkomon K, Sawatdichaikul O, Songtawee N, Limtrakul J. Receptor-based virtual screening of egfr kinase inhibitors from the NCI diversity database. *Molecules* 2010; 15(6):4041-4054.
 57. Meng F. Molecular dynamics simulation of VEGFR2 with sorafenib and other urea- substituted aryloxy compounds. *Journal of Theoretical Chemistry* 2013; 739574: 1-7.
 58. Marzouk AA, Abdel-Aziz SA, Abdelrahman KS, Wanas AS, Gouda AM, Youssif BG, et al. Design and synthesis of new 1, 6-dihydropyrimidin-2-thio derivatives targeting VEGFR-2: Molecular docking and antiproliferative evaluation. *Bioorg Chem* 2020; 102: 104090 PMID: 32683176.
 59. Kang D, Pang X, Lian W, Xu L, Wang J, Jia H, et al. Discovery of vegfr2 inhibitors by integrating naïve bayesian classification, molecular docking and drug screening approaches. *RSC advances* 2018; 8(10): 5286-5297.
 60. Zahran SS, Ragab FA, El-Gazzar MG, Soliman AM, Mahmoud WR, Ghorab MM. Antiproliferative, antiangiogenic and apoptotic effect of new hybrids of quinazoline-4 (3H)-ones and sulfachloropyridazine. *Eur J Med Chem* 2023; 245: 114912 PMID: 36395650.
 61. Elkady H, Elwan A, El-Mahdy HA, Doghish AS, Ismail A, Taghour MS, et al. New benzoxazole derivatives as potential VEGFR-2 inhibitors and apoptosis inducers: Design, synthesis, anti-proliferative evaluation, flowcytometric analysis, and in silico studies. *J Enzyme Inhib Med Chem* 2022; 37(1): 403-416.